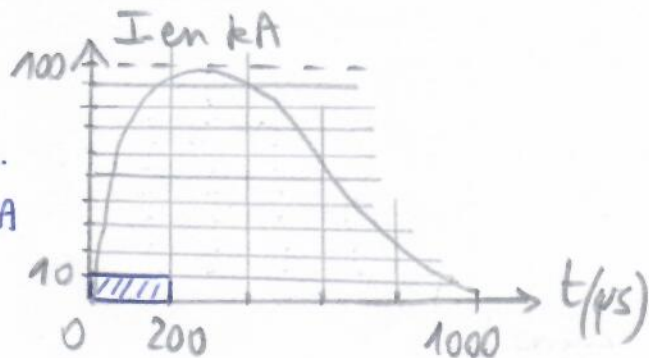


## Ex 2.2 - Energie électromagnétique de la foudre

EX-EM2(2)

- 1) La charge totale  $Q = \int I dt$   
est égale à l'aire sous la courbe.  
Environ 30 carreaux  $\begin{array}{c} \text{10 kA} \\ \text{200 ps} \end{array}$



an  $Q \approx 30 \times 200 \times 10^{-6} \times 10 \times 10^3 = \underline{60 C}$

L'intensité moyenne du courant  $I_m = \frac{Q}{t}$

an  $I_m = \frac{60}{1000 \times 10^{-6}} = \underline{6 \times 10^4 A = 60 kA}$ .

2) Avant le coup de foudre  $E = 5 kV.m^{-1} = \frac{U}{h} \Rightarrow \underline{U = E \times h}$

an  $U = 5 \times 10^3 \times 10^3 = \underline{5 \times 10^6 V}$

L'énergie dissipée dans le coup de foudre  $W_{él} = \frac{1}{2} \frac{Q^2}{C} = \frac{1}{2} QU = W_{él}$

an  $W_{él} = \frac{1}{2} \times 60 \times 5 \times 10^6 = \underline{1,5 \times 10^8 J}$

modèle du condensateur

La puissance moyenne dissipée  $P_m = \frac{W_{él}}{t}$

an  $P_m = \frac{1,5 \cdot 10^8}{1000 \times 10^{-6}} = \underline{1,5 \cdot 10^{11} W}$

Comparaison entre l'énergie journalière d'un humain  $E = 10^3 kJ$  et l'énergie dissipée dans le coup de foudre :

$$\frac{W_{él}}{E} = \frac{1,5 \times 10^8}{10^3 \times 10^3} = 150 \text{ (faible)}$$

Comparaison entre la puissance d'une centrale nucléaire  $P = 16 W$  et la puissance moyenne dissipée  $P_m = 1,5 \cdot 10^{11} W$ .

$$\frac{P_m}{P} = \frac{1,5 \cdot 10^{11}}{1 \times 10^9} = 150 \text{ (faible)}$$

- 3) Calculons un ordre de grandeur des dimensions du nuage.

$$C = \frac{\epsilon_0 S}{h} = \frac{Q}{U} \Rightarrow \underline{S = \frac{hQ}{\epsilon_0 U}}$$

an  $S = \frac{1 \cdot 10^3 \times 60}{8,85 \cdot 10^{-12} \times 5 \cdot 10^6} \approx \underline{1,4 \times 10^9 m^2}$

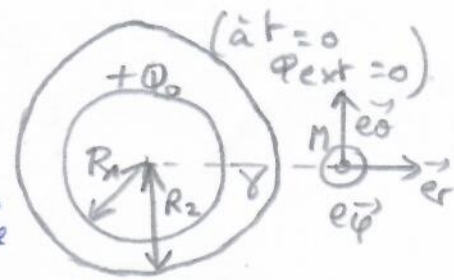
# Ex 2.3 - Décharge d'une boule conductrice

Ex - EM2 (3)

- 1) Système de coordonnées sphériques  $(r, \theta, \varphi)$   
 les plans  $(M, \vec{e}_r, \vec{e}_\theta)$  et  $(M, \vec{e}_r, \vec{e}_\varphi)$  sont des plans de symétrie.

Le champ  $\vec{E}$  appartient à ces plans de symétrie donc  $\vec{E}$  est selon  $\vec{e}_r$ .

Le champ  $\vec{B} \perp$  à chacun de ces plans de symétrie donc  $\vec{B} = \vec{0}$ .



- 2) On applique le théorème de Gauss pour une surface de Gauss tel que  $R_1 < r < R_2$ ;

$$E(r, t) \times 4\pi r^2 = \frac{Q(t)}{\epsilon_0} \quad (\text{à } t=0, Q(t) = Q_0)$$

D'après la loi d'Ohm locale,  $\vec{j}(r, t) = \gamma \vec{E}(r, t)$

Par définition,  $I = \iint \vec{j} \cdot d\vec{S} = j(r, t) \times 4\pi r^2 = -\frac{dQ(t)}{dt}$

$$\Rightarrow I = \gamma E(r, t) \times 4\pi r^2 = -\epsilon_0 \frac{dE(r, t)}{dt} \times 4\pi r^2$$

$$\left| \frac{dE(r, t)}{dt} + \frac{\gamma}{\epsilon_0} E(r, t) = 0 \right.$$

! variation négative car décharge de la boule.

Le champ  $\vec{E}$  suit une loi de décroissance exponentielle car les solutions sont du type :

$$\boxed{E(r, t) = E_0 \exp\left(-\frac{t}{\tau}\right)} \quad \text{avec } \tau = \frac{\epsilon_0}{\gamma}$$

- 3) Bilan énergétique à  $t=0$  (gaz isolant)

$$W_{\text{el}} = \iiint \frac{1}{2} \epsilon_0 E^2 d\tau = \frac{1}{2} \epsilon_0 \int_{r=R_1}^{R_2} \left( \frac{Q_0}{4\pi\epsilon_0 r^2} \right)^2 4\pi r^2 dr$$

$$= \frac{1}{2} \frac{Q_0^2}{4\pi\epsilon_0} \int_{r=R_1}^{R_2} \frac{dr}{r^2} = \frac{Q_0^2}{8\pi\epsilon_0} \left[ -\frac{1}{r} \right]_{R_1}^{R_2}$$

$$= \frac{Q_0^2}{8\pi\epsilon_0} \left[ -\frac{1}{R_2} + \frac{1}{R_1} \right] = \boxed{\frac{Q_0^2 (R_2 - R_1)}{8\pi\epsilon_0 R_1 R_2} = W_{\text{el}}}$$

Rem:  $W_{\text{el}} = \frac{1}{2} Q_0 V_1$

$$\text{or } U = V_1 - V_2 = V_1 - 0 = \frac{Q_0}{C}$$

$$V_1 - V_2 = \int \vec{E} \cdot d\vec{e} = \int_{r=R_1}^{R_2} \frac{Q_0}{4\pi\epsilon_0 r^2} dr = \frac{Q_0}{4\pi\epsilon_0} \left[ -\frac{1}{r} \right]_{R_1}^{R_2} = \frac{Q_0}{4\pi\epsilon_0} \left[ -\frac{1}{R_2} + \frac{1}{R_1} \right]$$

$$V_1 - 0 = \frac{Q_0}{4\pi\epsilon_0} \left[ \frac{R_2 - R_1}{R_1 R_2} \right] = \frac{Q_0}{C} \Rightarrow \boxed{C = \frac{4\pi\epsilon_0 R_1 R_2}{R_2 - R_1}}$$

↳ sphère extérieure globalement neutre.



## Ex 2.4 - Charge d'un condensateur circulaire

- 1) On néglige les effets de bord  $\Rightarrow$  cela revient à supposer les armatures illimitées (ici on peut dire que  $a \gg e$ )

Etude d'une armature de densité surfacique de charge  $\sigma(t)$ .

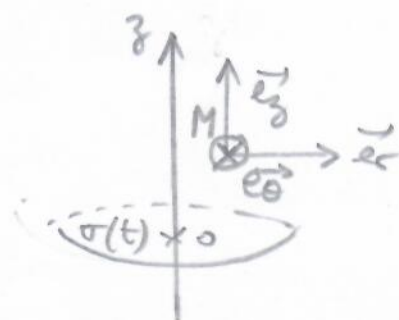
Symétries : les plans  $(M, \vec{e}_r, \vec{e}_z)$  et  $(M, \vec{e}_\theta, \vec{e}_z)$  sont des plans de symétrie pour  $\sigma(t)$

Or  $\vec{E} \in$  aux plans de symétrie donc

$$\vec{E}(M, t) = E(M, t) \vec{e}_z$$

Invariances : par rotation selon  $\theta$  et par translation selon  $r$  donc  $\vec{E}(M, t) = E(z) \vec{e}_z$ .

Appliquons le théorème de Gauss :  $\oint \vec{E}(M, t) \cdot d\vec{S}_{\text{ext}} = \frac{q_{\text{int}}}{\epsilon_0}$ .



Choix de la surface de Gauss : cylindre d'axe Oz, de rayon  $r < a$  et de hauteur  $2 \times z_M$ .

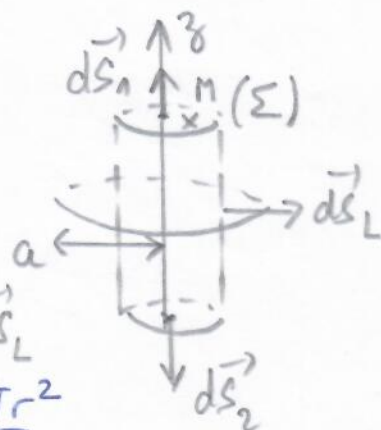
$$\oint \vec{E}(M, t) \cdot d\vec{S}_{\text{ext}} = \iint_{S_1} \vec{E}(M, t) \cdot d\vec{S}_1 + \iint_{S_2} \vec{E}(M, t) \cdot d\vec{S}_2 + \iint_{S_L} \vec{E}(M, t) \cdot d\vec{S}_L$$

$$= 0 \text{ car } \vec{E}(M, t) \perp d\vec{S}_L$$

$$E(z, t) S_1 - E(-z, t) S_2 = \frac{q_{\text{int}}}{\epsilon_0} = \frac{\sigma(t) \times \pi r^2}{\epsilon_0}$$

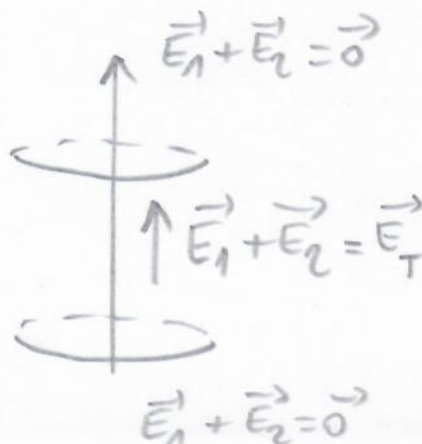
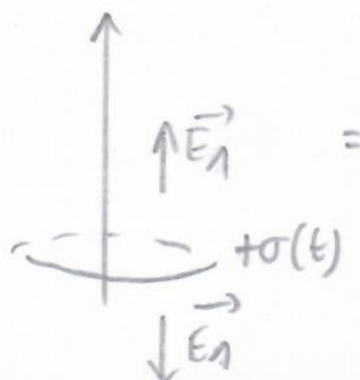
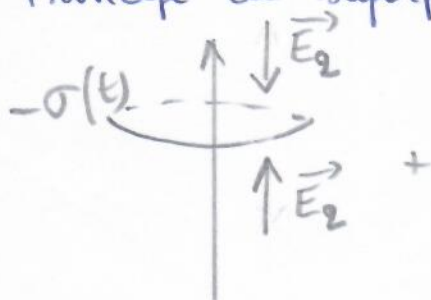
$$\text{Or } E(-z, t) = -E(z, t) \text{ et } S_1 = S_2 = S$$

$$2 E(z, t) S = \frac{\sigma(t) S}{\epsilon_0} \Rightarrow \begin{cases} \vec{E}(z, t) = \frac{\sigma(t)}{2\epsilon_0} \vec{e}_z \text{ pour } z > 0 \\ \vec{E}(z, t) = -\frac{\sigma(t)}{2\epsilon_0} \vec{e}_z \text{ pour } z < 0 \end{cases}$$



Etude du condensateur

Principe de superposition



Pour  $r < a$ ,  $\vec{E} = E(M,t) \vec{e}_3 = \frac{\sigma(t)}{\epsilon_0} \vec{e}_3$  entre les armatures  
 et  $\vec{E}(M,t) = \vec{0}$  en dehors des armatures.

Or  $q(t) = \sigma(t) \times \pi a^2 \Rightarrow \boxed{\vec{E}(M,t) = \frac{q(t)}{\pi a^2 \epsilon_0} \vec{e}_3}$

2) Système à symétrie cylindrique avec courants axiaux.

Le plan  $(M, \vec{e}_r, \vec{e}_3)$  est un plan de symétrie pour la distribution de courant.

Or  $\vec{B} \perp$  au plan de symétrie donc

$$\vec{B}(M,t) = B(M,t) \vec{e}_\theta.$$

Pour  $r < a$ , à l'intérieur du condensateur

on applique l'équation de Maxwell - Ampère généralisée sous forme intégrale

$$\oint \vec{B} \cdot d\vec{\ell} = \mu_0 \underbrace{\iint \vec{j} \cdot \vec{n} ds}_{=0} + \mu_0 \epsilon_0 \iint \frac{\partial \vec{E}}{\partial t} \cdot \vec{n} ds$$

car pas de courant entre les armatures

$$= 0 + \mu_0 \epsilon_0 \iint \frac{1}{\pi a^2 \epsilon_0} \frac{dq(t)}{dt} \times ds$$

$$B(M,t) \times 2\pi r = \frac{\mu_0}{\pi a^2} \dot{q}(t) \pi r^2 \Rightarrow \boxed{\vec{B}(M,t) = \frac{\mu_0 \dot{q}(t) r}{2\pi a^2} \vec{e}_\theta}$$

Pour  $r > a$ , à l'extérieur du condensateur

$$\oint_{\Gamma} \vec{B} \cdot d\vec{\ell} = \mu_0 \iint_{S_1} \vec{j} \cdot \vec{n} ds + \mu_0 \epsilon_0 \iint_{S_2} \frac{\partial \vec{E}}{\partial t} \cdot \vec{n} ds$$

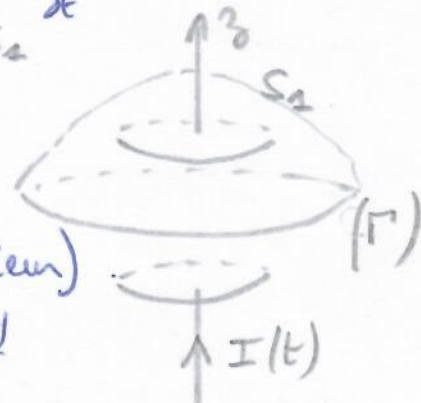
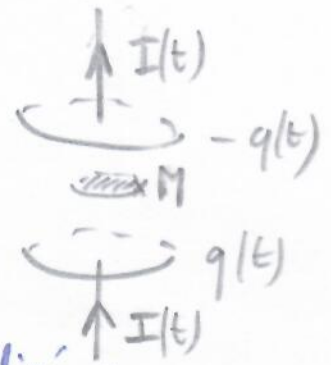
(voir l'activité 1.15).

Choix de  $S_1$ , surface s'appuyant sur le contour d'Ampère ( $\Gamma$ ) englobant l'armature supérieure du condensateur ( $\vec{E} = \vec{0}$  à l'extérieur).

$$B(M,t) \times 2\pi r = \mu_0 I(t) + 0 = \mu_0 \frac{dq(t)}{dt}$$

$$\boxed{\vec{B}(M,t) = \frac{\mu_0 \dot{q}(t)}{2\pi r} \vec{e}_\theta}$$

C'est une approximation car on a négligé le champ induit créé par les variations de  $\vec{B}(M,t)$ . (M.F :  $\text{rot } \vec{E} = -\frac{\partial \vec{B}}{\partial t} \Rightarrow$  loi de Faraday)





3) A l'intérieur du condensateur, la puissance EM transportée vers le condensateur a pour expression :

$$P_{\text{ém sortant}}(t) = \oint \vec{\Pi}(M, t) \cdot \vec{n}_M \, dS_M$$

avec  $\vec{\Pi}(M, t) = \frac{\vec{E}(M, t) \wedge \vec{B}(M, t)}{\mu_0}$

$$= \frac{\left( \frac{q(t)}{\pi a^2 \epsilon_0} \right) \vec{e}_z \wedge \left( \mu_0 \frac{\dot{q}(t) r}{2\pi a^2} \right) \vec{e}_\theta}{\mu_0}$$

$$= \frac{q(t) \dot{q}(t) r}{2\pi^2 a^4 \epsilon_0} (-\vec{e}_r) \quad \text{car } (\vec{e}_r, \vec{e}_\theta, \vec{e}_z) \text{ trièdre direct.}$$

$$P_{\text{ém sortant}}(t) = \|\vec{\Pi}\|(-\vec{e}_r) \cdot \|\vec{n}_M\| \vec{e}_r \, dS_M$$

$$P_{\text{ém entrant}} = + \frac{q(t) \dot{q}(t) a}{2\pi^2 a^4 \epsilon_0} \times \underbrace{2\pi a e}_{\substack{\rightarrow \text{surface latérale} \\ = \text{périmètre} \times \text{hauteur}}}$$

$$\boxed{P_{\text{ém entrant}}(t) = + \frac{q(t) \dot{q}(t) \cdot e}{\pi a^2 \epsilon_0}}$$

Energie stockée par le condensateur lorsque sa charge est  $Q$ .

$$W_{\text{ém}} = \iiint w_{\text{él}} \, d\tau + \iiint w_{\text{mag}} \, d\tau$$

$$\left\{ \begin{aligned} w_{\text{él}} &= \frac{1}{2} \epsilon_0 E^2 = \frac{1}{2} \epsilon_0 \left( \frac{q(t)}{\pi a^2 \epsilon_0} \right)^2 \\ w_{\text{mag}} &= \frac{1}{2} \frac{B^2}{\mu_0} = \frac{1}{2\mu_0} \left( \frac{\mu_0 \dot{q}(t) r}{2\pi a^2} \right)^2 \end{aligned} \right.$$

lorsque la charge est  $Q$  alors  $\dot{q}(t) = 0$  et  $\underline{W_{\text{ém}} = W_{\text{él}}}$

$$\text{et } W_{\text{ém}} = \frac{1}{2} \epsilon_0 \frac{Q^2}{(\pi a^2 \epsilon_0)^2} \times \pi a^2 e = \boxed{\frac{1}{2} \frac{Q^2 e}{\pi a^2 \epsilon_0} = W_{\text{ém}}}$$

Remarque :  $\frac{w_{\text{él}}}{w_{\text{mag}}} = \frac{\frac{1}{2} \epsilon_0 \left( \frac{q(t)}{\pi a^2 \epsilon_0} \right)^2}{\frac{1}{2\mu_0} \left( \frac{\mu_0 \dot{q}(t) r}{2\pi a^2} \right)^2} = \frac{q^2(t) 4}{\dot{q}^2(t) r^2 \mu_0 \epsilon_0} = \left[ \frac{2q(t) c}{\dot{q}(t) r} \right]^2$

Dans le volume du condensateur  $r \leq a$ , on a :

$$\frac{\langle w_{\text{él}} \rangle}{\langle w_{\text{mag}} \rangle} = \left( \frac{2q(t) c}{w \dot{q}(t) r} \right)^2 = \frac{4c^2}{w^2 r^2} \gg \frac{4c^2}{w^2 a^2}$$

Dans l'ARQS, on a supposé  $a \ll \lambda \approx \frac{c}{w} \Leftrightarrow \frac{c}{wa} \gg 1$

ce qui implique que l'énergie EM est essentiellement sous forme d'énergie électrique car  $\langle w_{\text{él}} \rangle \gg \langle w_{\text{mag}} \rangle$

Capacité du condensateur

$$W_{\text{ém}} = W_{\text{él}} = \frac{1}{2} \frac{Q^2}{C} = \frac{1}{2} \frac{Q^2 e}{\pi a^2 \epsilon_0} \Rightarrow \boxed{C = \frac{\pi a^2 \epsilon_0}{e}} \quad \left( = \frac{\epsilon_0 S}{e} \right)$$

